

$$\left. \begin{array}{l} \rho \frac{\partial^2 \varphi}{\partial t^2} - GI_0 \frac{\partial^2 \varphi}{\partial x^2} - S_0(\varphi, y) = 0; \\ m \frac{\partial^2 y}{\partial t^2} + EI_1 \frac{\partial^4 y}{\partial x^2} - S_1(\varphi, y) = 0, \end{array} \right\} \quad (2)$$

где  $\rho, m$ - момент инерции и масса единицы длины вала и рабочего органа;  $GI_0$ - крутильная жесткость;  $EI_1$ - изгибная жесткость;  $\varphi(x, t)$ ,  $y(x, t)$ - координаты крутильных и изгибных колебаний;  $S_0, S_1$ - распределенная реактивная нагрузка, действующая со стороны псевдосреды на соответствующие подсистемы.

Характеристическое уравнение, соответствующее (2) имеет вид

$$\lambda^6 + p_{11}\lambda^4 - p_{22}\lambda^2 - p_{11}p_{22} + p_{12}p_{21} = 0 \quad (3)$$

Коэффициенты  $p_i$  приведены в монографии[1].

Введем в рассмотрение функцию  $P=P_1^3+P_2^2$ , где  $P_1=[p_{22}/3+(p_{11}/3)^2]$ ;  $P_2=(p_{11}/3)^3+0,5p_{12}p_{21}-p_{11}p_{22}/3$ . Можно показать, что нарушение условий  $P<0$  и  $p_{12}p_{21}, p_{11}p_{22}>0$   $\Pi' \neq 0$  служит первым признаком существенной связности обеих подсистем и их взаимовлияния, а также возможности повышения виброактивности.

Список литературы.

1. Вульфсон И.И. Колебания машин с механизмами циклового действия.-Л.: Машиностроение, 1990-307с
2. Вульфсон И.И., Левит В.Л. Анализ вынужденных колебаний цикловых механических систем кольцевой структуры на базе континуальных моделей // Машиноведение, 1988, №1.-С. 75-81
3. Вульфсон И.И., Тышкун А.П. Исследование вынужденных изгибных колебаний исполнительных механизмов вязально-прошивочных машин // Изв. Вузов. Техн. легк. пром.-1985, №3.-С. 104-108
4. Вульфсон И.И., Клементьев А.В. Математическая модель для исследования изгибно-крутильных колебательных систем трикотажных машин // Исследование и оптимизация процессов текстильной промышленности.-Рига: РПИ, 1988.-С.85-90.

## ИССЛЕДОВАНИЕ ВИБРОАКТИВНОСТИ МНОГОСЕКЦИОННЫХ ПРИВОДОВ ИГЛОПРОБИВНЫХ МАШИН

**И.И. Вульфсон, П.А. Дятлова**  
Санкт-Петербургский государственный  
университет технологии и дизайна

Современные высокоскоростные иглопробивные машины (ИМ) подвержены интенсивным динамическим нагрузкам, вызванными кинематическим возмущением и импульсным приложением технологических сил, возникающих при формировании нетканых материалов. Важнейшим исполнительным органом таких машин является массивный игольный стол, совершающий возвратно-поступательное движение, для реализации которого используются рычажные механизмы, причем входные звенья этих механизмов установлены на одном или нескольких главных валах. Для выработки нетканых материалов повышенной ширины привод включает в себя ряд повторяющихся секций (модулей).

Динамические характеристики одиночного модуля в общей постановке были исследованы в работе [1], а применительно к односекционным ИМ – в работах [2, 3].

Динамические модели типовых модулей показаны на рис. 1. Первая модель (M1), в частности, отвечает конструкции машины ИМ 361, а вторая (M2) — машине типа ИМ 1800М (два параллельно работающих механизма), а также машинам фирмы DILO (4 механизма) и др.

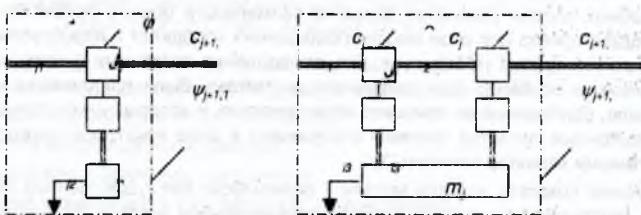


Рис. 1

На схемах сдвоенными линиями обозначены упругодиссипативные связи с коэффициентами жесткости  $c$  и коэффициентами рассеяния  $\psi$ ; кроме того, использованы следующие условные обозначения:  $J$  — момент инерции,  $m$  — масса,  $\Pi$  — аналог механизма, соответствующий функции положения  $\Pi(\phi)$ ;  $j$  — текущий номер модуля. При этом  $j = \overline{1, N}$ , где  $N = j_{\max}$  — число секций ИМ;  $j=0$  отвечает приводному механизму, осуществляющему вращение главного вала.

Динамические модели ввиду идентичности модулей имеют при  $j \geq 1$  регулярную структуру [3] и описываются следующими дифференциальными уравнениями, записанными в обобщенном виде.

Динамическая модель 1 для произвольного модуля  $j$ :

$$\left. \begin{aligned} J_j \ddot{q}_{2j-1} + b_{j1} (\dot{q}_{2j-1} - \dot{q}_{2j-3}) + c_{j1} (q_{2j-1} - q_{2j-3}) - b_{j+1,1} (\dot{q}_{2j+1} - \dot{q}_{2j-1}) - \\ - c_{j+1,1} (q_{2j+1} - q_{2j-1}) - \Pi'_j b_{j2} (\dot{q}_{2j} - \Pi'_j \dot{q}_{2j-1}) - \Pi'_j c_{j2} (q_{2j} - \Pi'_j q_{2j-1}) = 0; \\ m_j \ddot{q}_{2j} + b_{j2} (\dot{q}_{2j} - \Pi'_j \dot{q}_{2j-1}) + c_{j2} (q_{2j} - \Pi'_j q_{2j-1}) = -m_j \Pi''_j \omega^2 - F_j. \end{aligned} \right\} \quad (1)$$

Здесь и ниже обобщенные координаты  $q_i$  отвечают абсолютным динамическим ошибкам, т. е. отклонениям соответствующей абсолютной координаты от значения при отсутствии деформаций,  $b_i$  — коэффициенту эквивалентной линеаризации диссипативных сил при коэффициенте рассеяния  $\psi$ ,  $F_j$  — технологической силе.

Динамическая модель 2 для произвольного модуля  $j$ :

$$\left. \begin{aligned} J_{j1} \ddot{q}_{3j-2} + b_{j1} (\dot{q}_{3j-2} - \dot{q}_{3j-4}) + c_{j1} (q_{3j-2} - q_{3j-4}) - b_{j2} (\dot{q}_{3j-1} - \dot{q}_{3j-2}) - \\ - c_{j2} (q_{3j-1} - q_{3j-2}) - \Pi'_j b_{j3} (\dot{q}_{3j} - \Pi'_j \dot{q}_{3j-2}) - \Pi'_j c_{j3} (q_{3j} - \Pi'_j q_{3j-2}) = 0; \\ J_{j2} \ddot{q}_{3j-1} + b_{j2} (\dot{q}_{3j-1} - \dot{q}_{3j-2}) + c_{j2} (q_{3j-1} - q_{3j-2}) - b_{j+1,1} (\dot{q}_{3j+1} - \dot{q}_{3j-1}) - \\ - c_{j+1,1} (q_{3j+1} - q_{3j-1}) - \Pi'_j b_{j4} (\dot{q}_{3j} - \Pi'_j \dot{q}_{3j-2}) - \Pi'_j c_{j4} (q_{3j} - \Pi'_j q_{3j-2}) = 0; \\ m_j \ddot{q}_{3j} + b_{j3} (\dot{q}_{3j} - \Pi'_j \dot{q}_{3j-2}) + c_{j3} (q_{3j} - \Pi'_j q_{3j-2}) + b_{j4} (\dot{q}_{3j} - \Pi'_j \dot{q}_{3j-1}) + \\ + c_{j4} (q_{3j} - \Pi'_j q_{3j-1}) = -m_j \Pi''_j \omega^2 - F_j. \end{aligned} \right\} \quad (2)$$

Для определенности, не сужая общности подхода, приводной механизм ( $j=0$ ) примен в качестве цепочки элементов  $J_0 - c_0$ , и что входное сечение колебательной системы вращается с постоянной угловой скоростью  $\omega$ . При этом модуль  $j$  динамической модели 1 является повторяющимся структурным элементом колебательной системы,

имеющей число степеней свободы  $H=2N$ , а модель 2 –  $H=3N$ . В обоих случаях, если  $i < 1$  или  $i > H$ , следует принять  $q_i = 0$ .

Уравнения (1), (2) получены на базе линеаризации нелинейной функции  $\Pi(\phi)$  в окрестности программного движения [3]. При этом система уравнений имеет переменные коэффициенты и соответствует реономной колебательной системе. При решении подобных систем уравнений большой размерности обычно прибегают к численным методам, однако при этом массив обобщенных координат и варьируемых параметров становится трудно обозримым. Для преодоления связанных с этим трудностей при анализе, а особенно при динамическом синтезе, были предложены континуальные модели, основанные на принципе агрегирования, в которых кинематические упругие и инерционные свойства системы отражены в виде некоторой псевдосреды с интегральными характеристиками [3].

Можно показать, что для модели 2 практически без существенной потери точности при использовании условий баланса потенциальной энергии каждый из модулей может быть представлен как подсистема с двумя степенями свободы при приведенной ниже корректировке коэффициента жесткости  $c$ .

$$c_{..} = c_{..} = 2c_{j1}(c_{j2} + 0,5c_{j3}\Pi'^2)N^{-1}/[c_{j1} + 2(c_{j2} + 0,5c_{j3}\Pi'^2)]. \quad (3)$$

Здесь принято  $c_{j3} = c_{j4}$ . При расчетах режимов, достаточно удаленных от резонансных зон, можно принять усредненное значение функции  $\Pi'^2$ , равное  $0,5r^2$ , где  $r$  – радиус кривошипа. Следует однако, иметь в виду, что при больших значениях  $c_{j3}\Pi'^2_{\max}$ , соизмеримых с  $c_{j2}$ , существенным образом проявляется ужесточающее влияние игольного стола на соответствующий участок крутильной подсистемы. Последнее может привести к нарушению условий устойчивости на конечном отрезке времени и к связанному с этим существенному росту интенсивности колебаний. Исходя из вышеизложенного при проектировании следует учесть требование  $c_{j3}r^2 \ll c_{j2}$ .

Размыкание кинематической цепи при перекладке в зазорах и нарушениях силового замыкания кинематических пар можно учесть при представлении коэффициентов жесткости как  $c_i\sigma_i$ , где  $\sigma_i$  – единичная функция, обращающаяся в нуль при относительных перемещениях "внутри" зазора.

#### Список литературы.

1. Вульфсон И.И. "К вопросу о возбуждении колебаний силами трения в направляющих массивных исполнительных органов машин"// Проблемы машиностроения и надежности машин. 2000, №2. С. 42 – 48.
2. Вульфсон И.И., Габибова М.М. "Вынужденные колебания привода игольного стола иглопробивной машины с учетом зазоров и сил трения в направляющих"// Известия вузов. Технологии текстильной промышленности. 2001, №5. С. 65 – 68.
3. Вульфсон И.И. "Колебания машин с механизмами циклового действия." Л.: Машиностроение, 1990. 309 с.